

京都大学大学院 学生員 尾上 義博  
大阪府道路公社 正員 牧野 文雄

京都大学工学部 正員 白石 成人  
京都大学工学部 正員 松本 勝  
京都大学工学部 正員 白土 博通

1. まえがき 本研究は、Fig. 1 に示す現在架設設計画中の淀川橋梁（3径間連続鋼斜張橋、中央スパン 200 m、1 本タワー、8段ケーブル1面吊り形式）の耐風性について検討を加えたものである。主桁断面は偏平逆梯型を有しており、これに類似した断面がとくに正の迎角をもつ風の作用下で空力的に不安定となることが報告されている<sup>1)</sup>ため、空力安定化対策についても検討を加えた。また橋軸方向の風による主塔の空力応答特性について、3次元剛体模型を用いて架設中（ケーブル設置前）及び完成後それぞれの状態における応答測定実験を行なった。

2. 実験概要 本実験において主桁断面の応答測定実験は 1/80 主桁模型を用い、基本断面については迎角 0°、3°、5° に、防振装置付断面については迎角 5° に設定したわみ、振れ 2 自由度系のもとで行なわれた。模型の構造減衰はオイルダンパーにより所定の減衰定数となるよう各ケースごとに調整された。さらに基本断面の渦励振特性を明らかにするため、非定常圧力分布測定実験（たわみ、振れ渦励振最大振幅発現時）もあわせて行なった。主塔模型については主塔基部の板バネによって橋軸直角方向の曲げ剛性が与えられ、主塔頂部の振動応答が光学式変位計によって測定された。なお主塔は 1/60 模型を用い、ケーブル部は 0.5 mm 径のピアノ線に鉛錆のおもりを離散的に取り付け、これをビニールチューブに挿入することにより所定の外寸、重量を満足させ、ケーブル張力についてはおもりを吊り下げるにより再現させた。

3. 実験結果及び考察 (1) 主桁断面の空力応答特性と耐風安定化対策 Fig. 3 及び 4 に基本断面のたわみ及び振れ振動応答を ▲ 印で示す。迎角 5° では実風速 19 % ~ 30 % 付近でたわみ渦励振を生じ、40 % ~ 50 % 付近で振れ渦励振が生じている。さらに振れフラッタ限界風速については、実風速 90 % 付近と判断される。迎角 3° では、渦励振及び振れフラッタが検出されたが、空力的には 5° の場合よりも安定であった。また迎角 0° ではこれらの空力振動は発現しなかった。Fig. 5<sup>2)</sup> は △ 印で基本断面の迎角 3° 及び 5° のたわみ渦励振開始無次元風速を縦軸に、有効断面比を横軸にとりプロットしたものであるが、これよりたわみ渦励振開始無次元風速は有効断面比の 1.67 倍には等しいことがわかる。また Fig. 6 及び 7<sup>3)</sup> に、基本断面を対象に渦励振最大振幅発現時の非定常圧力測定における変位と負圧ピークの位相差の分布

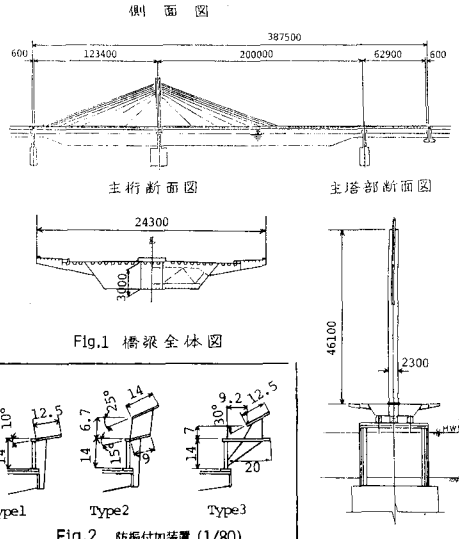


Fig.1 橋梁全体図

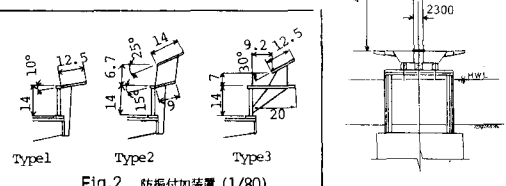


Fig.2 防振付加装置 (1/80)

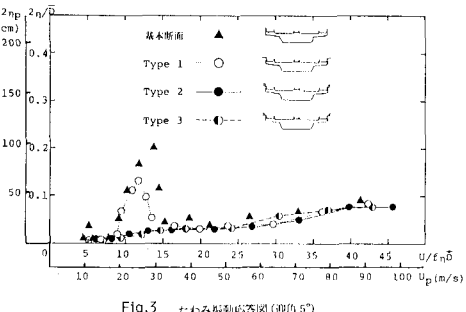


Fig.3 たわみ振動応答図 (迎角 5°)

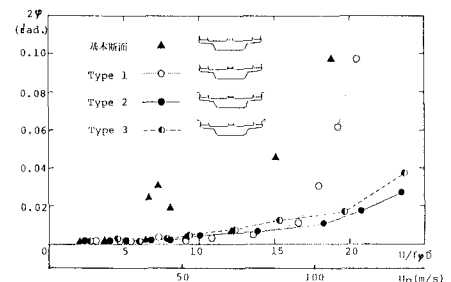


Fig.4 振れ振動応答図 (迎角 5°)

を示すが、Fig. 6 では上面後縁においておよそ  $B=360^\circ$ 、Fig. 7 ではおよそ  $540^\circ$  となっている。以上のことから基本断面の渦励振特性は前縁剥離渦型と判断され、防振対策としては断面の前縁及び後縁付近の流れを制御することが有効であるものと考えられる。そこで Fig. 2 に示す 3 種類の制振装置を高欄部に付設してその制振効果を調べた。Fig. 3, 4 にこれらのたわみ及び援れ振動応答図を示す。Type 1 ではたわみ渦励振が依然として生じるもの、Type 2, Type 3 では渦励振、援れフリッタ共にほぼ完全におさえられている。

2) 主塔の空力特性 Fig. 8 及び 9 に独立状態及び完成時の振動応答図を示す。独立状態においては、橋軸方向からの実風速 28% ~ 43% 付近で渦励振が生じ、塔頂の最大振幅は約 100cm となっている。主塔は Fig. 1 に示すように矩形断面を有する 1 本タワーであり、主塔断面比は橋軸方向の風に対する 7.30 であり、静的揚力係数勾配  $dC_L/d\alpha < 0$  となることから、ギャロッピングの発現が予想されるが、Fig. 8 の高風速域では風速の上昇と共に振幅も徐々に増加しているが、顕著な大振幅振動は発現していないことがわかる。一方完成時ににおいては、振動振幅が小さくなり渦励振発現無次元風速が大きくなっている。これは主塔の上流側及び下流側にケーブルが配置されることにより、主塔に作用する気流が特に上流側ケーブルによって乱されることが原因であると思われる。すなわちこの乱流効果

により剥離バブルが小さくなり、見かけ上主塔の断面比が大きくなるためであると考えられる。ケーブルを付設することにより、渦励振発現実風速は逆に小さくなることから、完成時の主塔の固有振動数は、架設時のそれと比較して小さくなるが、ケーブル付設による主塔の剛性の増加の影響を考慮すると、ケーブルが主塔の応答特性に寄与する効果は、系の剛性よりむしろ質量による影響が大きいと思われる。

4.あとがき 主桁断面は、正迎角をもつ風の作用下で比較的振幅の大きな渦励振及び援れフリッタを生じる可能性があり、その空力安定化対策としては、Type 2, Type 3 の防振付加装置が有効である。また架設時主塔は、特に橋軸方向の風に対する最大応答振幅で 700cm にも達する渦励振が生ずると考えられ、完成時主塔においては振動振幅は小さくなる。一方振動発現風速域が架設系よりも低くなることから、振動発生頻度は相対的に高くなることが予想され、疲労等の許容振幅の立場から、自然強風の発生頻度、その風向等についての検討も必要であろう。

参考文献 ①京都大学工学部土木工学科構造工学研究室 “斜張橋の耐風安定性に関する調査研究(その2)”  
②白石成人、松本勝 “充腹構造断面の渦励振限界風速と応答特性について” 日本風工学研究会誌

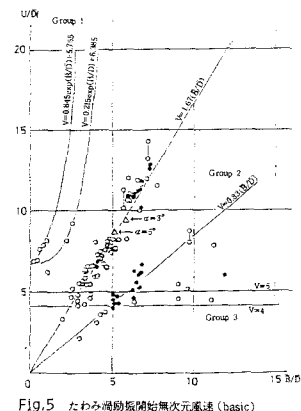


Fig. 5 たわみ渦励振開始無次元風速(basic)

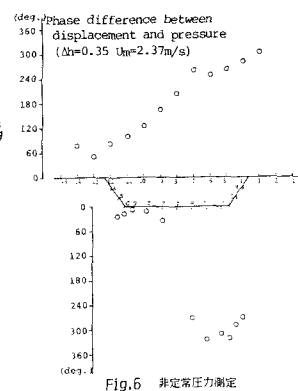


Fig. 6 非定常圧力測定  
(basic, 迎角5°, たわみ渦励振最大応答振幅発現時)

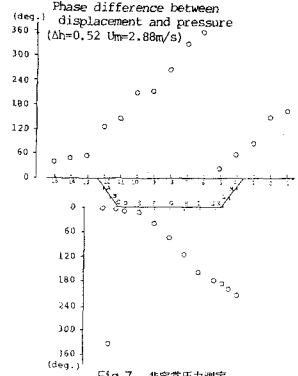
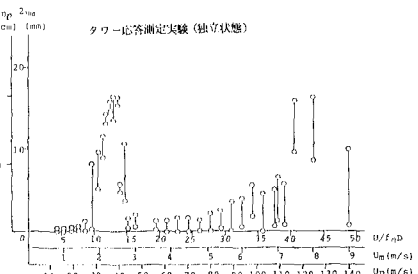
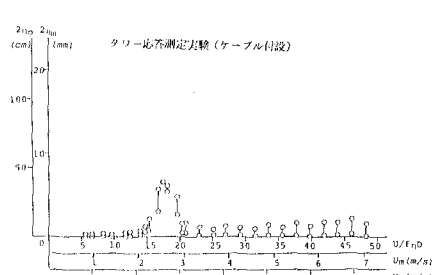


Fig. 7 非定常圧力測定  
(basic, 迎角5°, 援れ渦励振最大応答振幅発現時)



タワー応答測定実験(独立状態)



タワー応答測定実験(ケーブル付設)